

Series de suelos de la Provincia de Buenos Aires

Villa Rossi (VRs)

Descripción

Los suelos de esta Serie son imperfectamente drenados, (escurrimiento superficial y permeabilidad lenta), están vinculados a planos deprimidos y presentan elevada alcalinidad sódica a partir de los 18 cm de profundidad. Se han desarrollado a partir de materiales franco arenosos. La capa superficial (horizonte E) de 18 cm de espesor, es de color pardo grisáceo, estructura en bloques débiles y pobre contenido de materia orgánica. Luego pasa en forma abrupta a un horizonte más arcilloso, de estructura prismática, color pardusco y elevado pH debido al alto contenido de sodio intercambiable (más del 50 % de la capacidad de intercambio catiónico), que impiden el desarrollo normal de las raíces. Presentan moteados prácticamente desde la superficie, consecuencia del drenaje impedido de estos suelos.

Clasificación taxonómica: Natracualf típico, franca fina, mixta, térmica.

Ubicación del perfil: Latitud S: 34° 27' 54.00". Longitud W: 63° 0' 57.96". Altitud: 133 msnm; a 4,12 km al ESE de Melo, departamento Presidente Roque Sáenz Peña, provincia de Córdoba.

Drenaje y permeabilidad: Imperfectamente drenado, escurrimiento lento, permeabilidad moderadamente lenta.

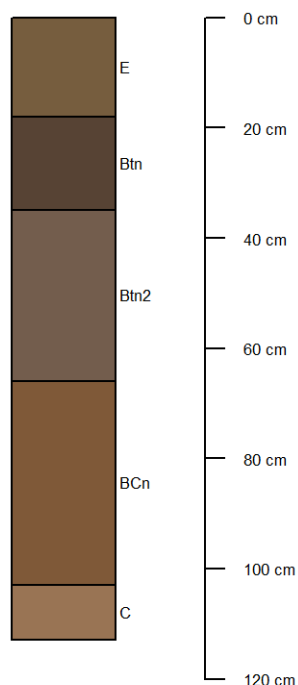
Uso y vegetación: Campo arado.

Índice de productividad: 14

Descripción del perfil típico:

B-107 C

Fecha de muestreo: 27 de Julio de 1978



E 0-18 cm; color en húmedo pardo a pardo oscuro (10YR4/3); franco arenoso; estructura en bloques subangulares medios y finos, débiles; muy friable en húmedo; no plástico; no adhesivo; moteados comunes, medios y precisos; límite inferior abrupto, suave.

Btn 18-35 cm; color en húmedo pardo oscuro (7,5YR3/2); franco a franco arcillo arenoso; estructura en prismas irregulares medios, moderados; friable en húmedo; ligeramente plástico; ligeramente adhesivo; barnices húmico-arcillosos comunes y medios; moteados comunes, medios y precisos; abundantes concreciones calcáreas finas; límite inferior claro, suave.

Btn2 35-66 cm; color en húmedo pardo oscuro (7,5YR3,5/2); franco; estructura en prismas y bloques subangulares medios, moderados; friable en húmedo; ligeramente plástico; ligeramente adhesivo; barnices húmico-arcillosos escasos y finos; moteados comunes, medios y precisos; abundantes concreciones calcáreas finas; límite inferior gradual, suave.

BCn 66-103 cm; color en húmedo pardo a pardo oscuro (7,5YR4/4); franco arenoso; estructura en bloques subangulares medios, moderados a débiles; friable en húmedo; barnices arcillosos muy escasos; moteados abundantes, medios y precisos; escasas concreciones calcáreas muy finas; límite inferior gradual, suave.

C 103 cm a +; color en húmedo pardo (7,5YR5/4); franco arenoso; masivo; muy friable en húmedo; no plástico; no adhesivo; moteados abundantes, medios y precisos; concreciones calcáreas escasas y finas.

Cuadro 1: Datos analíticos de laboratorio

Horizontes	E	Btn	Btn2	BCn	C
Profundidad (cm)	0-18	18-35	35-66	66-103	103 +
Materia Orgánica (%)	1.38	0.41	0.29	0.10	-
Carbono Orgánico (%)	0.80	0.24	0.17	0.12	-
Nitrógeno (%)	0.09	0.06	0.04	-	-
Relación C/N	9	4	4	-	-
Arcilla <2 μ (%)	9.6	24.2	19.3	12.5	11.9
Limo 2-20 μ (%)	-	-	-	-	-
Limo 2-50 μ (%)	36.0	27.9	27.4	27.9	25.0
AMF 50-75 μ (%)	-	-	-	-	-
AMF 75-100 μ (%)	-	-	-	-	-
AMF 50-100 μ (%)	32.2	35.0	30.9	41.7	41.4
AF 100-250 μ (%)	21.4	14.2	22.1	17.4	19.1
AM 250-500 μ (%)	0.4	0.3	0.3	0.3	0.4
AG 500-1000 μ (%)	0.4	0.2	0.2	0.3	0.5
AMG 1-2 mm (%)	-	-	-	-	-
Calcáreo (%)	0.0	1.0	0.6	0.0	0.3
Equivalente de Humedad (%)	14.7	25.8	20.7	16.6	16.3
Re. pasta. Ohms	-	-	-	-	-
Conductividad eléctrica (mS/cm)	-	-	-	-	-
pH en pasta de saturación	6.1	8.5	8.9	9.0	9.0
pH H ₂ O (1:2.5)	6.3	9.1	9.4	9.4	9.4
pH KCL (1:2.5)	-	-	-	-	-
Cationes de Cambio					
Ca ⁺⁺ m.eq./100gr	3.9	-	-	3.7	-
Mg ⁺⁺ m.eq./100gr	2.4	-	-	0.8	-
Na ⁺ m.eq./100gr	0.7	8.5	10.1	8.5	9.4
K ⁺ m.eq./100gr	1.0	2.3	2.3	1.7	2.0
H ⁺ m.eq./100gr	1.8	-	-	-	-
PSI (%)	7.0	51.5	66.0	57.8	72.3
Agua de Saturación (%)	-	-	-	-	-
Suma de bases [cmol(+)/kg] (S)	8.0	-	-	14.7	-
CIC [cmol(+)/kg] (T)	10.0	16.5	15.3	14.7	13.0
Saturación de bases (%) (S/T)	80.0	-	-	100	-